

ЛЕКЦИЯ №8 «ЭЛЕМЕНТАРНЫЕ ИЗЛУЧАТЕЛИ. ВОЗБУЖДЕНИЕ ЗАМКНУТЫХ ЭЛЕКТРОДИНАМИЧЕСКИХ СИСТЕМ»

С математической точки зрения задачи о возбуждении электромагнитных волн заданными источниками сводятся к решению системы неоднородных уравнений Максвелла:

$$\begin{aligned} \operatorname{rot} \dot{H} &= j\omega \varepsilon_a \dot{E} + \dot{J}_{\text{ст.э.}}, \\ \operatorname{rot} \dot{E} &= -j\omega \mu_a \dot{H} - \dot{J}_{\text{ст.м.}}. \end{aligned} \quad (11.1)$$

Здесь $\dot{J}_{\text{ст.э.}}$ и $\dot{J}_{\text{ст.м.}}$ — векторы плотностей сторонних электрического и магнитного токов.

Система (11.1) должна быть дополнена соответствующими граничными условиями, что делает ее решение единственным.

Возбуждение свободного пространства

При решении системы уравнений (11.1) оказывается полезным введение векторных потенциалов $\dot{A}_э$ и $\dot{A}_м$, связанных с векторами полей E и H соотношениями:

$$\dot{E} = -j\omega \dot{A}_э - j \frac{1}{\omega \varepsilon_a \mu_a} \operatorname{grad} \operatorname{div} \dot{A}_э - \frac{1}{\varepsilon_a} \operatorname{rot} \dot{A}_м, \quad (11.2)$$

$$\dot{H} = -j\omega \dot{A}_м - j \frac{1}{\omega \varepsilon_a \mu_a} \operatorname{grad} \operatorname{div} \dot{A}_м - \frac{1}{\mu_a} \operatorname{rot} \dot{A}_э. \quad (11.3)$$

Векторные потенциалы электромагнитного поля удовлетворяют неоднородным уравнениям Гельмгольца:

$$\nabla^2 \dot{A}_э + \gamma^2 \dot{A}_э = -\mu_a \dot{J}_{\text{ст.э.}}, \quad (11.4)$$

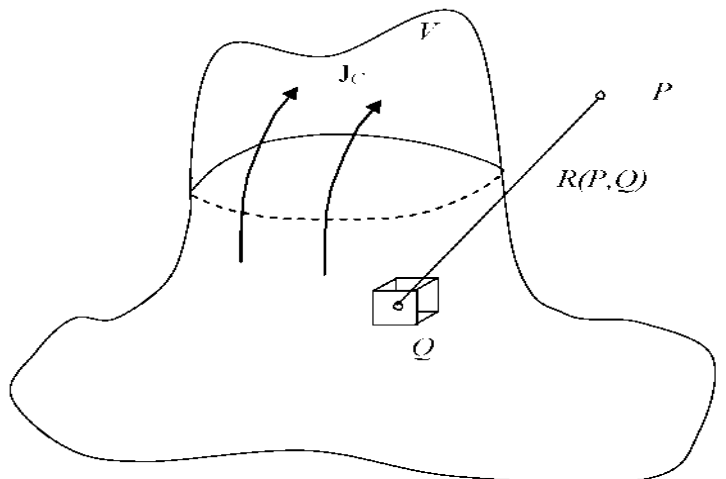
$$\nabla^2 \dot{A}_м + \gamma^2 \dot{A}_м = -\varepsilon_a \dot{J}_{\text{ст.м.}}. \quad (11.5)$$

Интегральные представления решений уравнений (11.4) и (11.5) имеют вид

$$\dot{A}_э = \frac{\mu_a}{4\pi} \int_V \frac{\dot{J}_{\text{ст.э.}} e^{-j\gamma R}}{R} dV, \quad (11.6)$$

$$\dot{A}_м = \frac{\varepsilon_a}{4\pi} \int_V \frac{\dot{J}_{\text{ст.м.}} e^{-j\gamma R}}{R} dV. \quad (11.7)$$

Здесь R — текущее значение модуля радиуса-вектора, соединяющего точки наблюдения P и точки источника Q (рис. 11.1).



Рассмотрим основные характеристики элементарных излучателей.

Элементарный электрический излучатель

Элементарным электрическим излучателем (диполем Герца) называется отрезок проводника, по которому протекает переменный электрический ток $I_{ст.э.}$, причем длина проводника l_d значительно меньше длины волны в вакууме (рис. 11.2). Произведение $I_{ст.э.} l_d$ называют *моментом излучателя*.

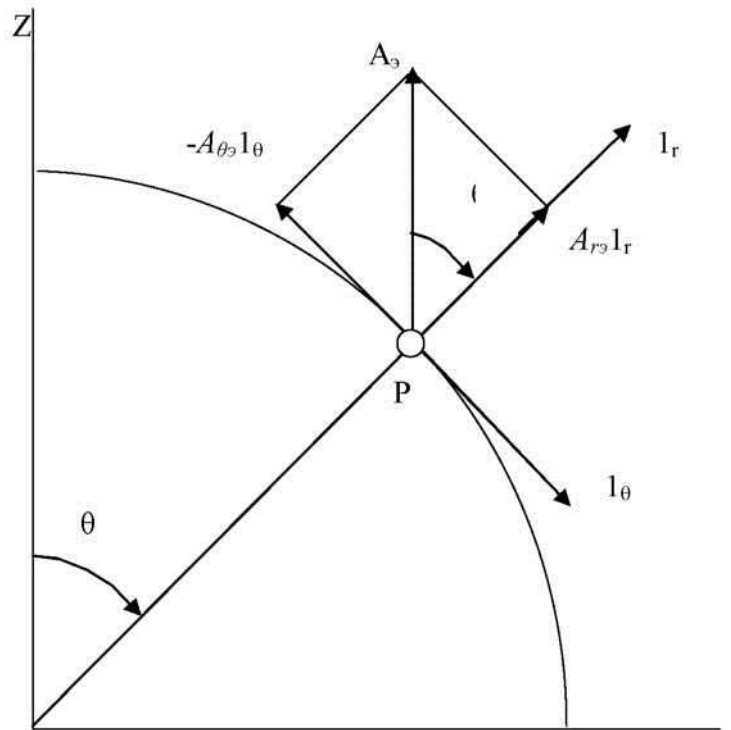
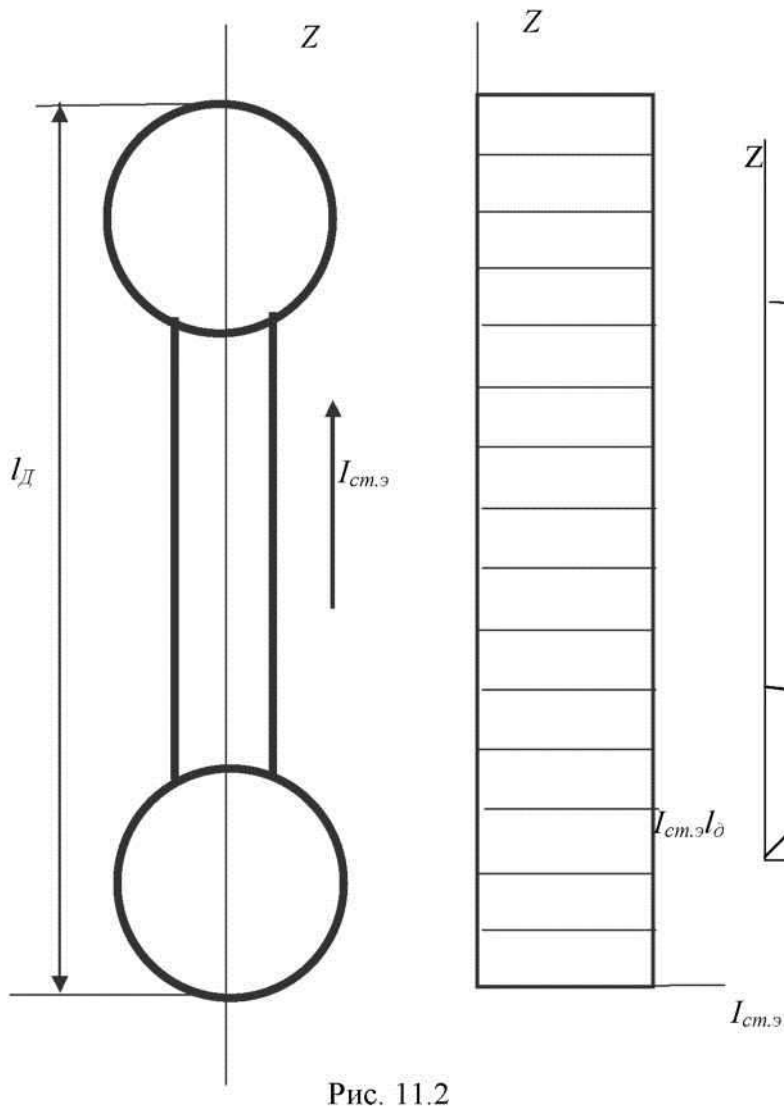


Рис. 11.3

Поле такого излучателя, помещенного в начале координат, описывается векторным потенциалом:

$$-\dot{A}_z = -\frac{\mu_a}{4\pi} \dot{I}_{ст.э.} l_d \frac{e^{-j\gamma r}}{r} \cdot 1_z \quad (11.8)$$

Разложение потенциала в каждой точке пространства по ортам сферической системы координат (рис. 11.3) имеет вид

$$\dot{A}_{r\vartheta} = \frac{\mu_a}{4\pi} \dot{I}_{\text{ст.э.}} l_\partial \frac{e^{-j\gamma r}}{r} \cos \theta , \quad (11.9)$$

$$\dot{A}_{\theta\vartheta} = -\frac{\mu_a}{4\pi} \dot{I}_{\text{ст.э.}} l_\partial \frac{e^{-j\gamma r}}{r} \sin \theta . \quad (11.10)$$

Используя формулы перехода (11.2), (11.3), по найденному векторному потенциалу определяем составляющие поля элементарного электрического излучателя:

$$\begin{aligned} \dot{H}_r &= 0 , \\ \dot{H}_\theta &= 0 , \\ \dot{H}_\varphi &= \frac{I_{\text{ст.э.}} l_\partial}{4\pi r^2} (1 + j\gamma^2 r) \sin \theta e^{-j\gamma r} , \\ \dot{E}_r &= \frac{I_{\text{ст.э.}} l_\partial}{j2\pi\omega\epsilon_a r^3} (1 + j\gamma^2 r) \cos \theta e^{-j\gamma r} , \\ \dot{E}_\theta &= \frac{I_{\text{ст.э.}} l_\partial}{j4\pi\omega\epsilon_a r^3} (1 + j\gamma r - \gamma^2 r^2) \sin \theta e^{-j\gamma r} , \\ \dot{E}_\varphi &= 0 . \end{aligned} \quad (11.11)$$

Приближенные выражения для составляющих полей имеют вид:

в ближней зоне ($r/\lambda_0 \ll 1$)

$$\begin{aligned} \dot{H}_\varphi &= \frac{I_{\text{ст.э.}} l_\partial}{4\pi r^2} \sin \theta , \\ \dot{E}_r &= \frac{I_{\text{ст.э.}} l_\partial}{j2\pi\omega\epsilon_a r^3} \cos \theta , \\ \dot{E}_\theta &= \frac{I_{\text{ст.э.}} l_\partial}{j4\pi\omega\epsilon_a r^3} \sin \theta . \end{aligned} \quad (11.12)$$

в дальней зоне ($r/\lambda_0 \gg 1$)

$$\begin{aligned} \dot{H}_\varphi &= j \frac{I_{\text{ст.э.}} l_\partial}{2r\lambda_0} \sin \theta e^{-j\gamma r} , \\ \dot{E}_\theta &= j \frac{I_{\text{ст.э.}} l_\partial}{2r\lambda_0} Z_c \sin \theta e^{-j\gamma r} . \end{aligned} \quad (11.13)$$

Поле в дальней зоне носит характер локально-плоской волны, причем

$$\dot{E}_\theta / \dot{H}_\varphi = Z_c \quad (11.14)$$

Нормированная диаграмма направленности по полю определяется выражением

$$F(\theta, \varphi) = E(\theta, \varphi) / E_{\max} , \quad (11.15)$$

где $E(\theta, \varphi)$ — амплитуда напряженности электрического поля при данных углах наблюдения; E_{\max} — максимальное значение амплитуды электрического поля.

Для элементарного электрического излучателя

$$F(\theta, \varphi) = \sin \theta . \quad (11.16)$$

Мощность излучения P_Σ находят интегрированием активной части (среднего значения) вектора Пойнтинга Π_{cp} по произвольной поверхности S , охватывающей излучатель:

$$P_\Sigma = \int_S \Pi_{cp} dS, \quad (11.17)$$

где

$$\Pi_{cp} = 1/2 \operatorname{Re} \left[\dot{E} \tilde{H} \right]. \quad (11.18)$$

Для элементарного электрического излучателя

$$P_\Sigma = \frac{\pi Z_c (I_{ст.э.} l_\partial)^2}{3\lambda_0^2}. \quad (11.19)$$

Излученную мощность можно рассматривать как мощность теряемую в фиктивном активном сопротивлении, которое называют сопротивлением излучения:

$$P_\Sigma = \frac{(I_{ст.э.})^2 R_\Sigma}{2}, \quad (11.20)$$

$$P_\Sigma = \frac{2\pi Z_c}{3\lambda_0^2} \left(\frac{l_\partial}{\lambda_0} \right)^2. \quad (11.21)$$

Для вакуума или воздуха $Z_c = Z_0 = 120\pi$, откуда

$$P_\Sigma = 80\pi^2 \left(\frac{l_\partial}{\lambda_0} \right)^2. \quad (11.22)$$

Элементарный магнитный излучатель

Элементарный магнитный излучатель — это воображаемый «проводник» длиной $l_\partial \ll \lambda_0$, по которому протекает фиктивный магнитный ток $J_{ст.м.}$. К этому классу могут быть отнесены рамочный и щелевой излучатели.

Для расчета поля магнитного излучателя используют свойство *перестановочной двойственности* уравнений Максвелла. Если в формуле (11.13) для электрического излучателя произвести перестановки вида

$$\begin{aligned} \dot{E} \rightarrow \dot{H}, \quad \dot{H} \rightarrow -\dot{E}, \quad J_{ст.э.} \rightarrow -J_{ст.м.} \\ \varepsilon_a \rightarrow -\mu_a, \quad \mu_a \rightarrow -\varepsilon_a. \end{aligned} \quad (11.23)$$

то получим выражения для составляющих поля элементарного магнитного излучателя в дальней зоне

$$\begin{aligned} \dot{E}_\varphi &= -j \frac{I_{ст.м.} l_\partial}{2r\lambda_0} \sin \theta e^{-j\gamma r}, \\ \dot{H}_\theta &= j \frac{I_{ст.м.} l_\partial}{2r\lambda_0 Z_c} \sin \theta e^{-j\gamma r}. \end{aligned} \quad (11.24)$$

Рамочный излучатель представляет собой небольшую проволочную петлю площадью S , по которой протекает переменный электрический ток (рис. 11.4). Такой излучатель становится элементарным, если периметр рамки мал по сравнению с длиной волны.

Если в выражениях (11.24) сделать замену в соответствии с равенством

$$I_{\text{ст.м.}} l_{\theta} = -j\omega\mu_a I_{\text{ст.э.}} S. \quad (11.25)$$

то получим выражения для

составляющих поля рамочного излучателя в дальней зоне

$$\begin{aligned} \dot{E}_{\varphi} &= -j \frac{I_{\text{ст.м.}} S \pi Z_c}{r \lambda_0^2} \sin \theta e^{-j\gamma r}, \\ \dot{H}_{\theta} &= \frac{I_{\text{ст.м.}} S \pi}{r \lambda_0^2} \sin \theta e^{-j\gamma r}. \end{aligned} \quad (11.26)$$

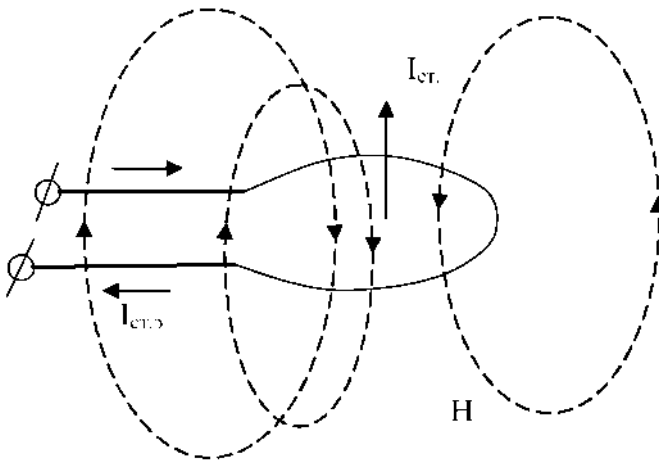


Рис. 11.4

Щелевой излучатель образован металлической плоскостью, в которой прорезана щель длиной $l_{\text{щ}}$ и шириной Δ (рис. 11.5). Чтобы щель можно было считать элементарным излучателем, необходимо выполнение условий $l_{\text{щ}} \ll \lambda_0$ и $\Delta \ll l_{\text{щ}}$. Щель может возбуждаться

источником высокочастотного напряжения,

подключенным к её краям (рис. 11.5, а). Такое возбуждение

является двусторонним (щелевая антенна излучает в оба полупространства). Антенна,

показанная на рис. 11.5, б, излучает только в одно

полупространство (одностороннее возбуждение). Осуществляя в выражениях (11.24) подстановку

$$I_{\text{ст.м.}} = 2\dot{U}_{\text{щ}}, \quad l_{\theta} = l_{\text{щ}}. \quad (11.27)$$

получим выражения для составляющих поля элементарного щелевого излучателя в дальней зоне при двустороннем возбуждении:

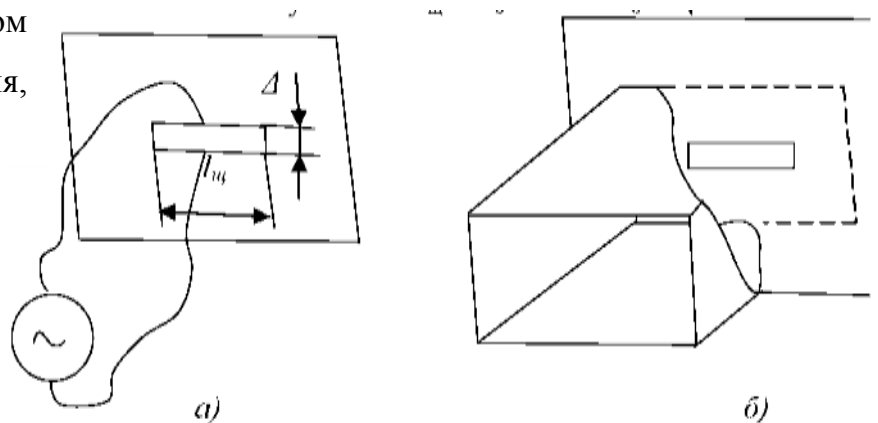


Рис. 11.5

$$\begin{aligned}\dot{E}_\varphi &= -j \frac{\dot{U}_{\text{щ}} l_{\text{щ}}}{r \lambda_0} \sin \theta e^{-j\gamma r}, \\ \dot{H}_\theta &= j \frac{\dot{U}_{\text{щ}} l_{\text{щ}}}{r \lambda_0 Z_c} \sin \theta e^{-j\gamma r}.\end{aligned}\quad (11.28)$$

где $U_{\text{щ}}$ — напряжение в щели.

Диаграмма направленности элементарного магнитного излучателя (рамочного или щелевого) определяется выражением

$$F(\theta, \varphi) = \sin \theta. \quad (11.29)$$

Мощность излучения P_Σ вычисляют согласно соотношению (11.17). Для щелевого излучателя

$$P_\Sigma = \int_S \Pi_{\text{ср}} dS = \frac{U_{\text{щ}}^2}{2R_{\Sigma_{\text{щ}}}}, \quad (11.30)$$

$R_{\Sigma_{\text{щ}}}$ — сопротивление излучения щелевого излучателя.

Элемент Гюйгенса

Элемент Гюйгенса представляет собой излучатель, соответствующий бесконечно

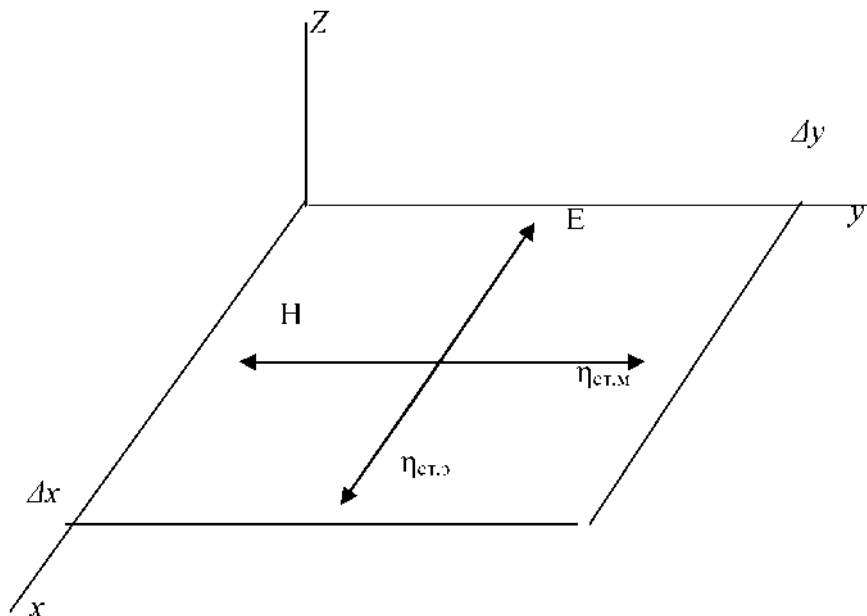


Рис. 11.6

малому элементу поверхности фронта плоской электромагнитной волны с линейной поляризацией.

Взяв этот элемент в виде прямоугольника, как показано на рис. 11.6, можно заметить, что элемент Гюйгенса

эквивалентен взаимно перпендикулярным элементам электрического и магнитного поверхностных токов, расположенным на поверхности $\Delta S = \Delta x \Delta y$ (причем $\Delta x \ll \lambda_0$, $\Delta y \ll \lambda_0$), плотности которых

$$\dot{\eta}_{\text{ст.э.}} = |\dot{H} \cdot \mathbf{1}_z|, \quad \dot{\eta}_{\text{ст.м.}} = |\dot{E} \cdot \mathbf{1}_z|.$$

Поле элемента Гюйгенса в дальней зоне, выраженное в сферической системе координат, записывается в виде (элемент расположен в экваториальной плоскости)

$$\dot{E} = -j \frac{\eta_{\text{ст.э.}} \Delta S Z_c}{2r\lambda_0} (1 + \cos \theta) \times (1_\theta \cos \theta - 1_\varphi \sin \varphi) e^{-j\gamma r}. \quad (11.31)$$

Диаграмма направленности элемента Гюйгенса в главных плоскостях ($\varphi = 0$, $\varphi = \pi/2$) определяется выражением

$$F(\theta, \pi/2) = F(\theta, 0) = \frac{1 + \cos \theta}{2}. \quad (11.32)$$

Возбуждение замкнутых электродинамических систем

Возбуждение волноводов

Пусть в бесконечном волноводе источники поля, находящиеся в объеме V , ограниченном интервалом $z_1 < z < z_2$ (рис. 11.7), заданы функциями $J_{\text{ст.э.}}$, $J_{\text{ст.м.}}$. Предполагается, что стенки волновода идеально проводящие, а диэлектрик, заполняющий волновод, не имеет потерь. Поле вне объема V представляется в виде совокупности волн электрического и магнитного типов:

$$\begin{aligned} \dot{E} &= \begin{cases} \sum_{n=1}^{\infty} \dot{C}_{-n} \dot{E}_{-n} (z < z_1) \\ \sum_{n=1}^{\infty} \dot{C}_{+n} \dot{E}_{+n} (z > z_2) \end{cases} \\ \dot{H} &= \begin{cases} \sum_{n=1}^{\infty} \dot{C}_{-n} \dot{H}_{-n} (z < z_1) \\ \sum_{n=1}^{\infty} \dot{C}_{+n} \dot{H}_{+n} (z > z_2) \end{cases} \end{aligned} \quad (11.33)$$

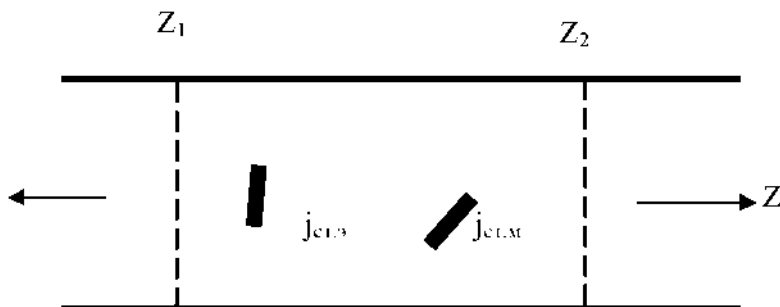


Рис. 11.7

Здесь n — номер типа волны в волноводе (если под n понимать два индекса, то суммирование рядов проводят по обоим индексам); $C_{\pm n}$ — коэффициенты возбуждения; $E_{\pm n}$ и $H_{\pm n}$ — комплексные амплитуды векторов поля n -го типа.

Знак минус означает волну, распространяющуюся в отрицательном направлении оси z .

Ставится задача определения коэффициентов возбуждения. Вынужденное поле (11.33) удовлетворяет неоднородным уравнениям Максвелла (11.1). Для того чтобы решить задачу о вынужденных колебаниях в волноводе, необходимо располагать решением более простой задачи о свободных полях, удовлетворяющих однородным уравнениям Максвелла.

Применяя лемму Лоренца к электромагнитному полю (11.33) в объеме V и используя в качестве вспомогательного собственное поле $E_{\pm n}$, $H_{\pm n}$ k -го типа волны, комплексные амплитуды которого подлежат определению, находим выражение для коэффициентов возбуждения:

$$\dot{C}_{\pm k} = \frac{1}{N_k} \int_V (j_{\text{ст.э.}} \dot{E}_{\pm k} - j_{\text{ст.м.}} \dot{H}_{\pm k}) dV \quad (11.34)$$

$$N_k = \int_S \{ [\dot{E}_{+k} \dot{H}_{-k}] - [\dot{E}_{-k} \dot{H}_{+k}] \} \cdot 1_z dV \quad (11.35)$$

Это норма k -й собственной волны.

Возбуждаемая источником k -я волна переносит через каждое поперечное сечение активную мощность

$$P_\Sigma = |\dot{C}_k|^2 \frac{1}{4} |N_k| . \quad (11.36)$$

Возбуждение объемных резонаторов

Если объемный резонатор ограничен замкнутой идеально проводящей поверхностью S_0 , то решение уравнений (11.1) должно удовлетворять граничному условию

$$[1_n E] = 0 . \quad (11.37)$$

Будем полагать, что свободные колебания резонатора известны, т. е. найдены полная система векторных функций E_p , H_p и собственные частоты ω_p . Здесь индекс p означает номер типа колебаний в объемном резонаторе. Собственные колебания в объемном резонаторе удовлетворяют условию ортогональности:

$$\int_V \dot{E}_p \dot{E}_q dV = 0, \quad \int_V \dot{H}_p \dot{H}_q dV = 0, \quad (p \neq q), \quad (11.38)$$

(считается, что собственные частоты всех типов колебаний различны, или, как говорят, в резонаторе отсутствует вырождение типов колебаний).

Норма собственного колебания

$$N_p = \int_V \dot{E}_p^2 \varepsilon_a dV = - \int_V \dot{H}_p^2 \mu_a dV . \quad (11.39)$$

Электромагнитное поле, возбужденное в резонаторе, отыскивают в виде рядов. (Строго говоря, в эти ряды следует добавить члены, описывающие статические поля источников. Однако практически их вклад в поле, возбуждения в резонаторе, невелик.)

$$\begin{aligned}\dot{E} &= \sum_{n=1}^{\infty} \dot{A}_n \dot{E}_n, \\ \dot{H} &= \sum_{n=1}^{\infty} \dot{B}_n \dot{H}_n.\end{aligned}\quad (11.40)$$

Амплитудные коэффициенты для колебаний типа p вычисляют по формулам

$$\dot{A}_p = j \frac{1}{(\omega^2 - \omega_p^2)N_p} \int_V (\omega j_{\text{ст.э.}} \dot{E}_p - \omega_p j_{\text{ст.м.}} \dot{H}_p) dV, \quad (11.41)$$

$$\dot{B}_p = j \frac{1}{(\omega - \omega_p)N_p} \int_V (\omega_p j_{\text{ст.э.}} \dot{E}_p - \omega j_{\text{ст.м.}} \dot{H}_p) dV. \quad (11.42)$$

Если резонатор не имеет потерь, то собственная частота ω_p , — действительная, и при частоте возбуждения $\omega = \omega_p$ коэффициенты A_p , B_p и определяемые ими поля обращаются в бесконечность. Для реального объемного резонатора, обладающего потерями, собственная частота ω_p — комплексная. При больших значениях добротности Q_p объемного резонатора собственная частота

$$\dot{\omega}_p \approx \omega_p + j \frac{\omega_p}{2Q_p}, \quad (11.43)$$

где Q_p — добротность p -го типа колебаний.

Учитывая, что значение Q_p велико, для практических расчетов в числителе принимают $\dot{\omega}_p = \omega_p$.

Тогда

$$\begin{aligned}\dot{A}_p &= j \frac{\omega \int_V j_{\text{ст.э.}} \dot{E}_p dV - \omega_p \int_V j_{\text{ст.м.}} \dot{H}_p dV}{(\omega^2 - \omega_p^2 - j \omega_p^2 / Q_p) N_p}, \\ \dot{B}_p &= j \frac{\omega_p \int_V j_{\text{ст.э.}} \dot{E}_p dV - \omega \int_V j_{\text{ст.м.}} \dot{H}_p dV}{(\omega^2 - \omega_p^2 - j \omega_p^2 / Q_p) N_p}.\end{aligned}\quad (11.44)$$

При $\omega_p = \omega$ коэффициенты A_p и B_p равны между собой.

Теория возбуждения позволяет рассчитать изменение собственные частоты объемного резонатора при деформации его оболочки. Эта деформация может осуществляться, например, погружением металлического тела с объемом V' в резонатор. Собственные частоты ω_p возмущенного резонатора можно рассчитать по известным частотам m_p и собственным векторным функциям E_p , H_p невозмущенного резонатора:

$$\omega'_p = \omega_p \sqrt{1 + \frac{\int_V \frac{|\dot{H}_p|^2 \mu_a}{2} dV - \int_V \frac{|\dot{E}_p|^2 \epsilon_a}{2} dV}{\int_V \frac{|\dot{E}_p|^2 \epsilon_a}{2} dV}}, \quad (11.45)$$

Здесь $\int_V \frac{|\dot{H}_p|^2 \mu_a}{2} dV, \int_V \frac{|\dot{E}_p|^2 \varepsilon_a}{2} dV$ — максимальная магнитная и электрическая энергии колебания в объеме V' до введения возмущающего элемента; $\int_V \frac{\dot{E}_p^2 \varepsilon_a}{2} dV$ - полная электромагнитная энергия p -й волны в резонаторе до введения возмущения. Выражение (11.45) справедливо при малых деформациях системы.